

Projet Neubot : Framework pour la simulation de robots modulaires et auto-organisation de la locomotion sous-marine

Barthélémy von Haller

Travail de Master

Le 7 mars 2005

- Développer un framework pour la simulation de robots modulaires
- Utiliser ce framework pour faire un simulateur pour les modules Neubot
- Auto-organisation de la locomotion
 - Evolution d'un RN générant des oscillations
 - Utilisation de ce RN dans un CPG
 - Vérification de la validité de cette approche pour le cas particulier Neubot
 - Co-évolution du corps et du contrôleur

But à atteindre

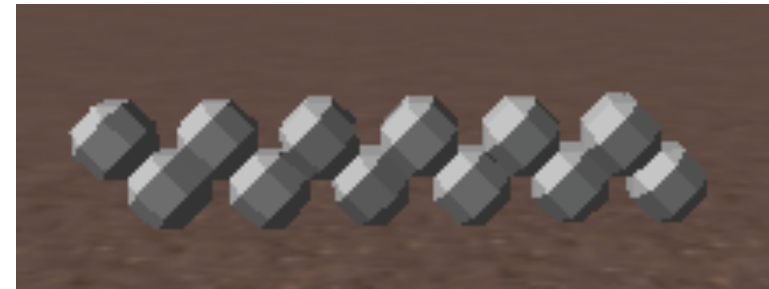
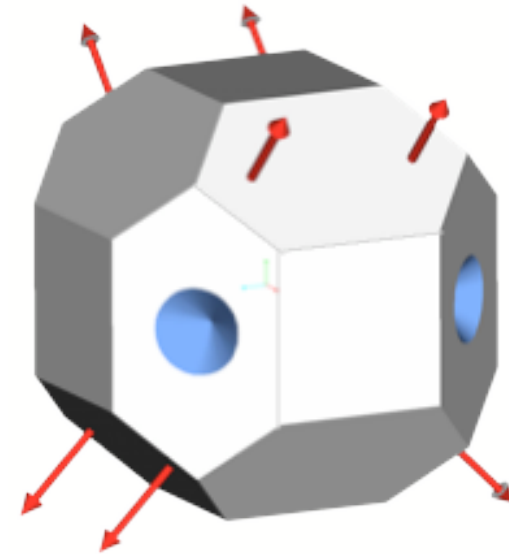
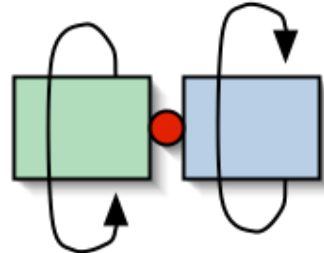
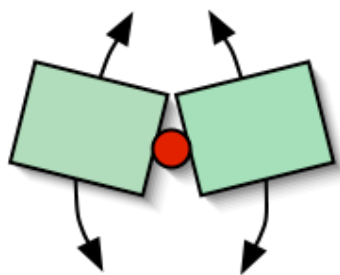


- Introduction
 - Robotique modulaire
 - Projet Neubot
- Partie 1 : simulateur
 - Framework
 - Simulation des robots modulaires Neubot
- Partie 2 : auto-organisation de la locomotion
 - CPG constitué d'oscillateurs faits d'un réseau de neurones
 - Evolution du contrôleur de robots dont la forme est fixe
 - Co-évolution du contrôleur et du corps
- Conclusion et questions

- Robots faits de multiples unités simples, souvent identiques
- Buts :
 - Polyvalence et adaptivité (grâce à l'auto-reconfiguration)
 - Robusteté (grâce à l'auto-réparation)
- La plupart des projets est terrestre.

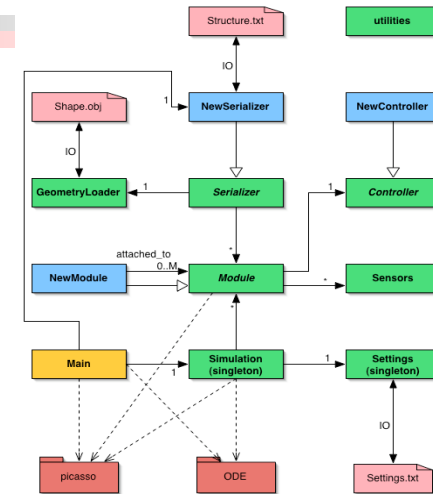


- Collaboration LSL-ASL
- Von Neumann Robot -> hétérogénéité
- Milieu aquatique
- Auto-organisation
- Auto-reconfiguration
- Propulsion par jets
- Joints magnétiques
- Axe de rotations !

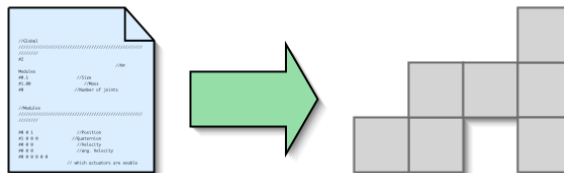


- Introduction
 - Robotique modulaire
 - Projet Neubot
- **Partie 1 : simulateur**
 - Framework
 - Simulation des robots modulaires Neubot
- **Partie 2 : auto-organisation de la locomotion**
 - CPG constitué d'oscillateurs faits d'un réseau de neurones
 - Evolution du contrôleur de robots dont la forme est fixe
 - Co-évolution du contrôleur et du corps
- Conclusion et questions

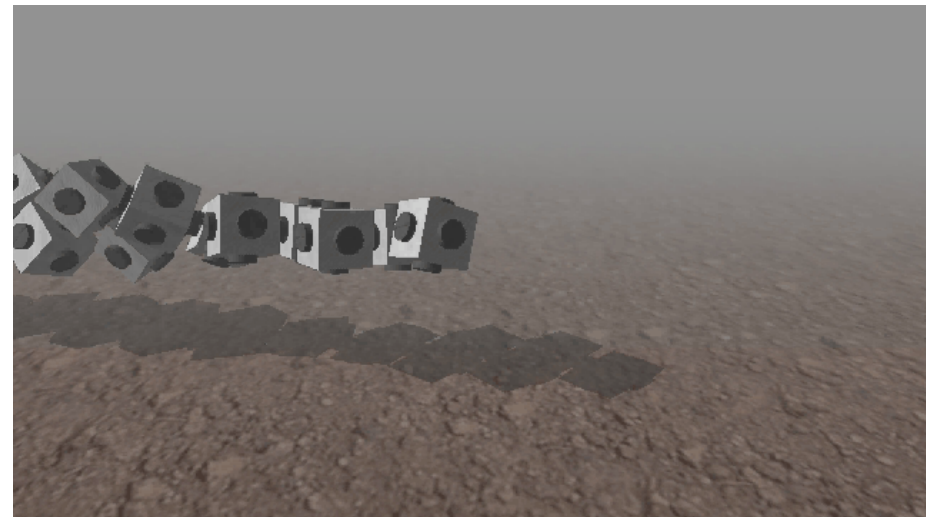
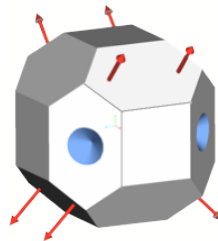
- Implémenté avec ODE
 - dynamique de corps solides
 - Frictions, collisions
- Le plus général possible
 - Cycles autorisés
 - Auto-reconfiguration / auto-organisation autorisées
 - Implémentation aisée de nouveaux modules et hétérogénéité
- Facilités pour stocker la forme des modules, la structure des robots et les paramètres dans des fichiers lisibles pour un humain

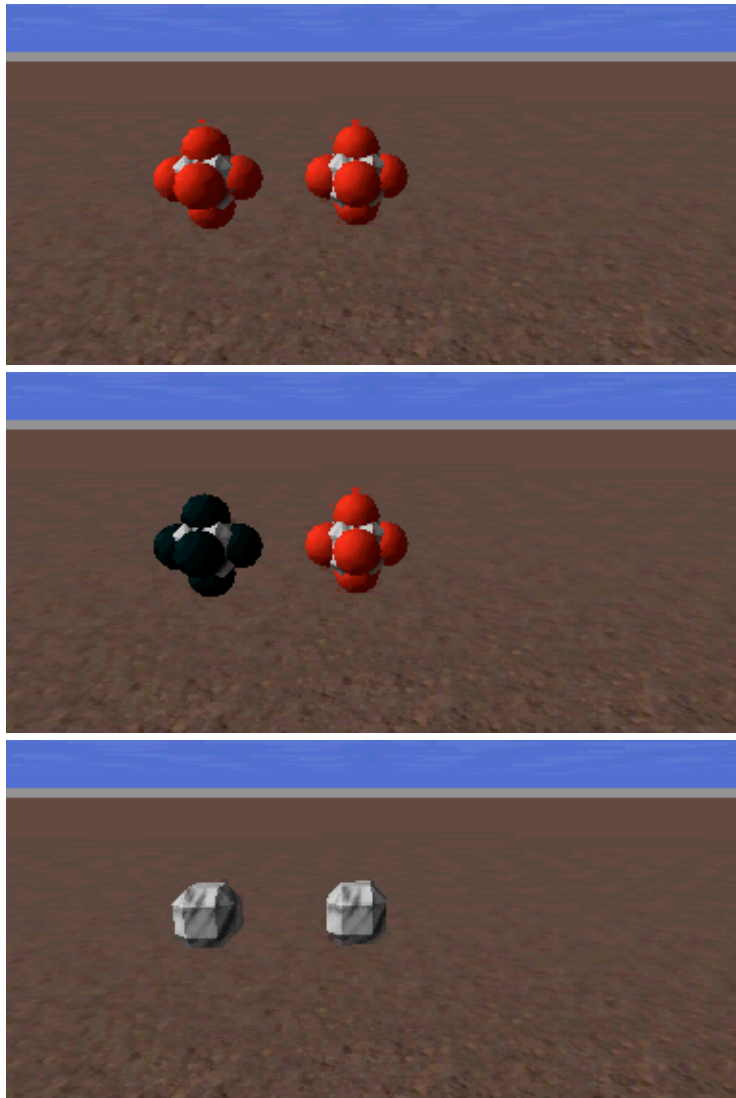


- Niveau de détails choisi
 - Ni trop précis (-> lent) ni pas assez (-> transfert vers le monde réel impossible)
 - Pas de prototype réel du module -> tous les coefficients sont estimés mais devront être déterminés expérimentalement par la suite
- Scripts décrivant la structure du robots facilement réalisables à la main
 - basé sur le module et non sur la structure



- Modèle physique de l'eau
 - Simplifications fortes
 - 3 types de force : poussée (archimède), inertielle et visqueuse
 - Forces appliquées lors de translations et de rotations
- Forme des modules
 - D'abord : cube
 - Ensuite : vraie forme



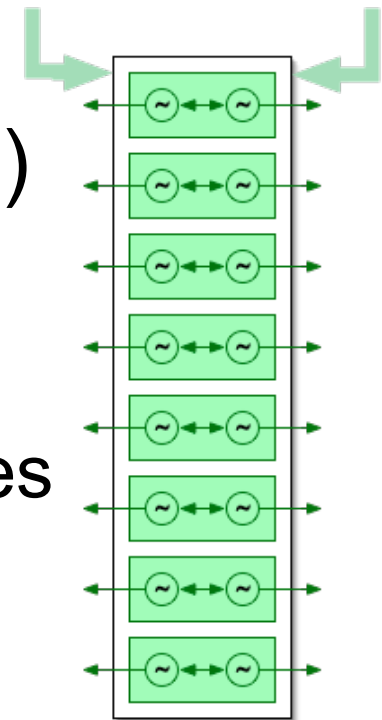


- Joints, aimants
 - Chaque aimant est simplifié par une sphère
 - Pour limiter les calculs, nous ne calculons les forces magnétiques que quand deux sphères se touchent

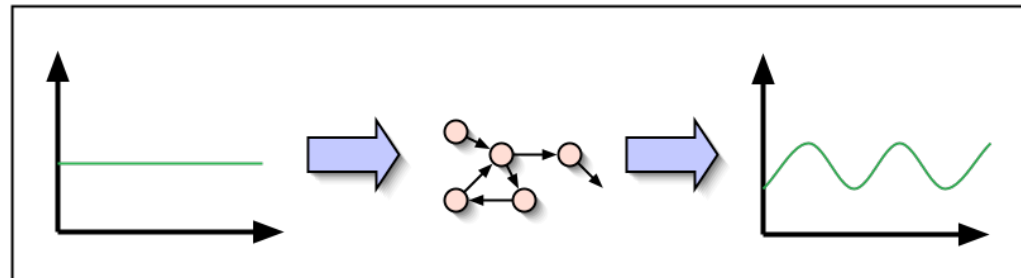
$$F_{magnet} = \frac{1}{\mu} \frac{C_1 C_2}{d^2}$$

- Introduction
 - Robotique modulaire
 - Projet Neubot
- Partie 1 : simulateur
 - Framework
 - Simulation des robots modulaires Neubot
- **Partie 2 : auto-organisation de la locomotion**
 - CPG constitué d'oscillateurs faits d'un réseau de neurones
 - Evolution du contrôleur de robots dont la forme est fixe
 - Co-évolution du contrôleur et du corps
- Conclusion et questions

- Approche bio-inspirée:
 - Central Pattern Generator (CPG)
 - réseaux de neurones comme oscillateurs
 - Synaptic spreading pour coupler les oscillateurs
 - Algorithme génétique (GA)
 - Co-évolution



- Réseaux de neurones générant des signaux oscillatoires à partir d'une simple entrée tonique venant du cerveau (BS = brainstem), ces oscillateurs sont couplés -> déphasage

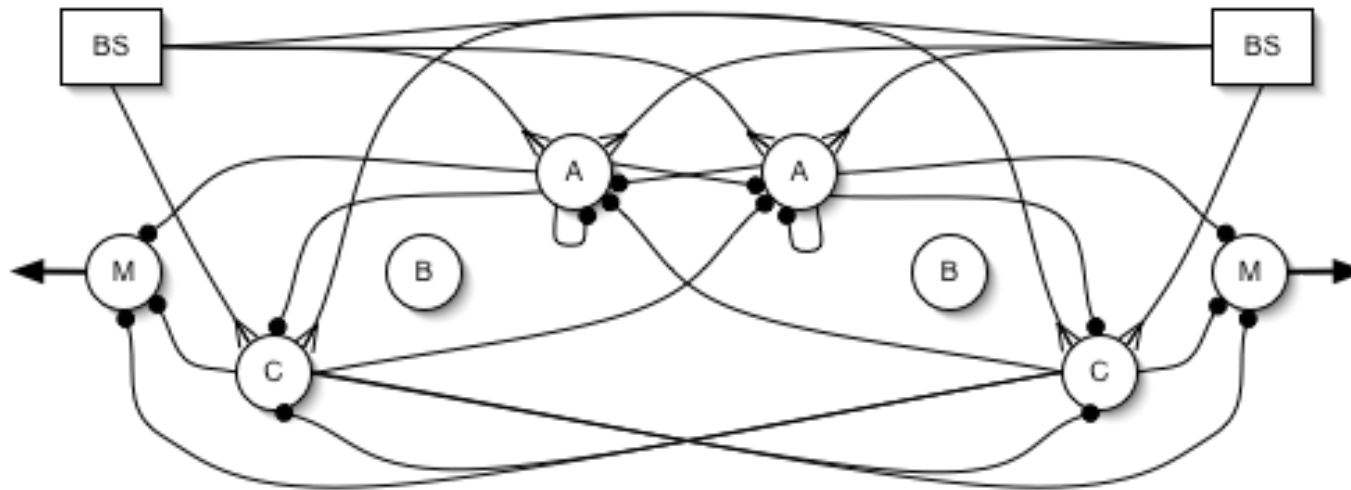


- Capacité à générer des "motifs" différents en fonction de l'entrée
- Garantit des transitions douces entre les démarches (marche, trot, gallop) et une prise en compte des senseurs dans le signal de sortie

$$\tau \frac{dm_i}{dt} = -m_i + \sum_j \omega_{i,j} x_j$$

$$x_i = (1 + e^{-(m_i + b_i)})^{-1}$$

Neurones de complexité
moyenne modélisés comme des
"Leaky Integrators"



Encodage : 43 gènes (grâce à la symétrie)

GA : steady-state

Operateurs : crossover, mutation (gaussienne), pruning

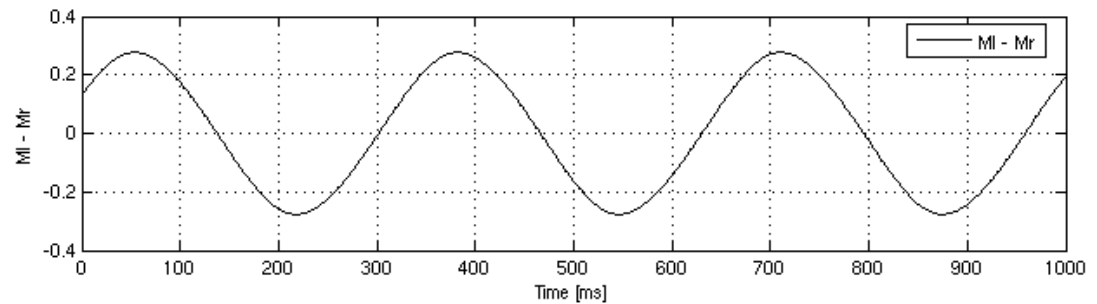
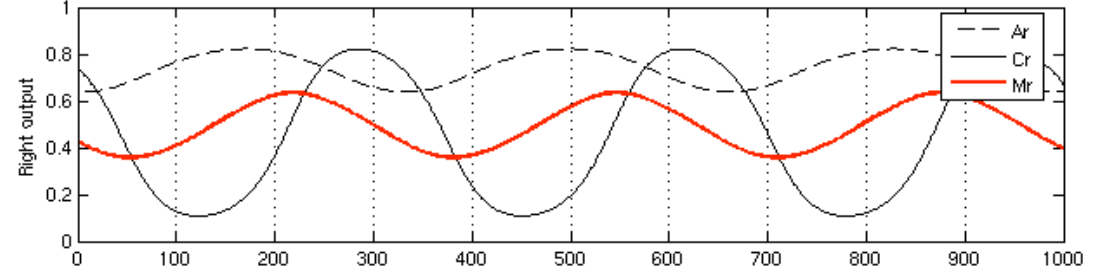
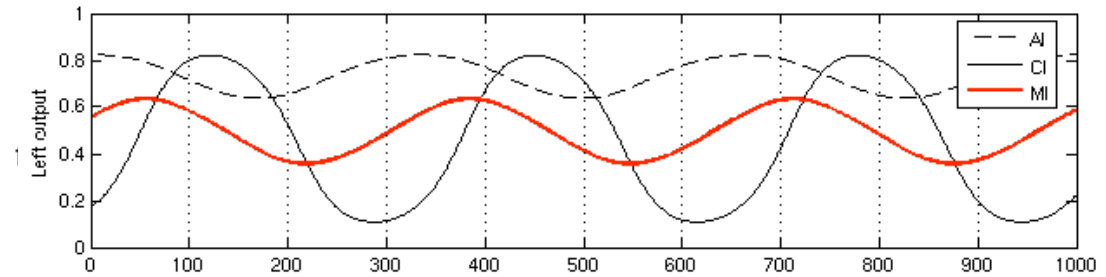
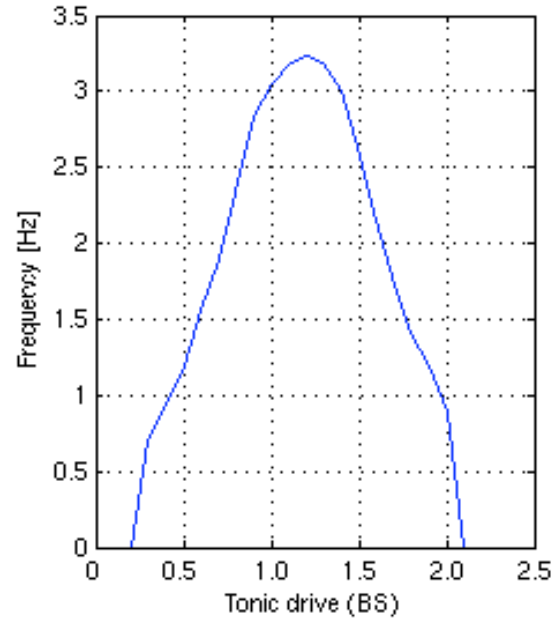
Fonction de fitness : produit de 6 facteurs

But : produire des oscillations régulières, dont la fréquence et l'amplitude peuvent être variées avec le BS et dont le nombre de connections internes est aussi faible que possible.

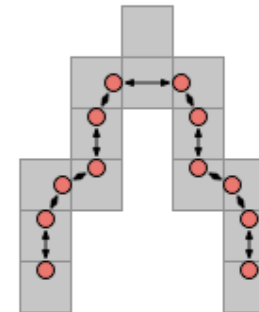
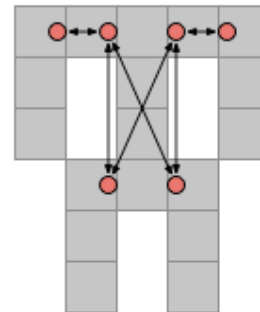
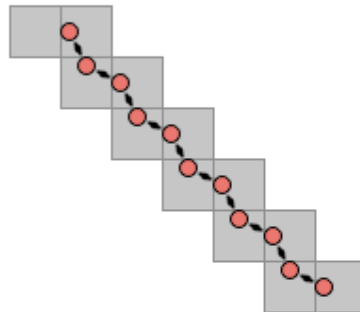
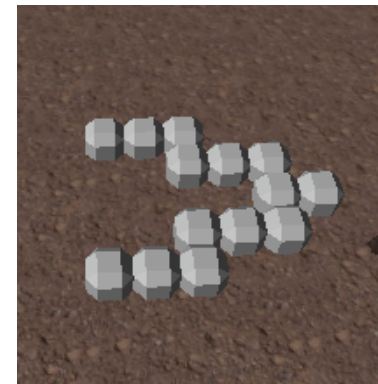
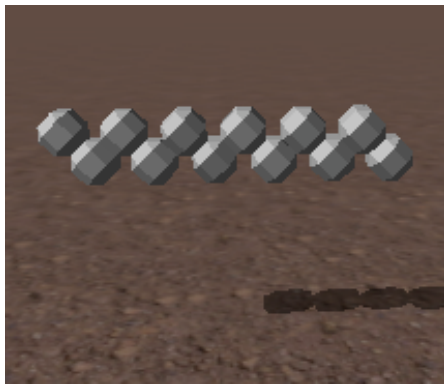
Function	Variable	Bounds [<i>bad</i> , <i>good</i>]
fit_nb_connect	number of connections	[24, 8]
fit_oscil	number of optima	[0, 20]
fit_regularity	SD of periods	[0.25, 0.0]
fit_oscil_phase	$ \theta_{oscil} - 0.5 $	[0.5, 0.0]
fit_freq_range	max_freq / min_freq	[1.0, 15.0]
fit_ampl	mean of amplitude	[0, 0.1]

- 15 évolutions
 - Toutes ont convergés vers des solutions correctes
- 1 très bonne solution très proche de celle trouvée par Auke Ijspeert
 - 1 - 9.3 Hz
- 1 moins bonne mais qui ne nécessite que 8 connexions internes au lieu de 14
 - 0.8 - 3.3 Hz
 - Le neurone de type B devient inutile

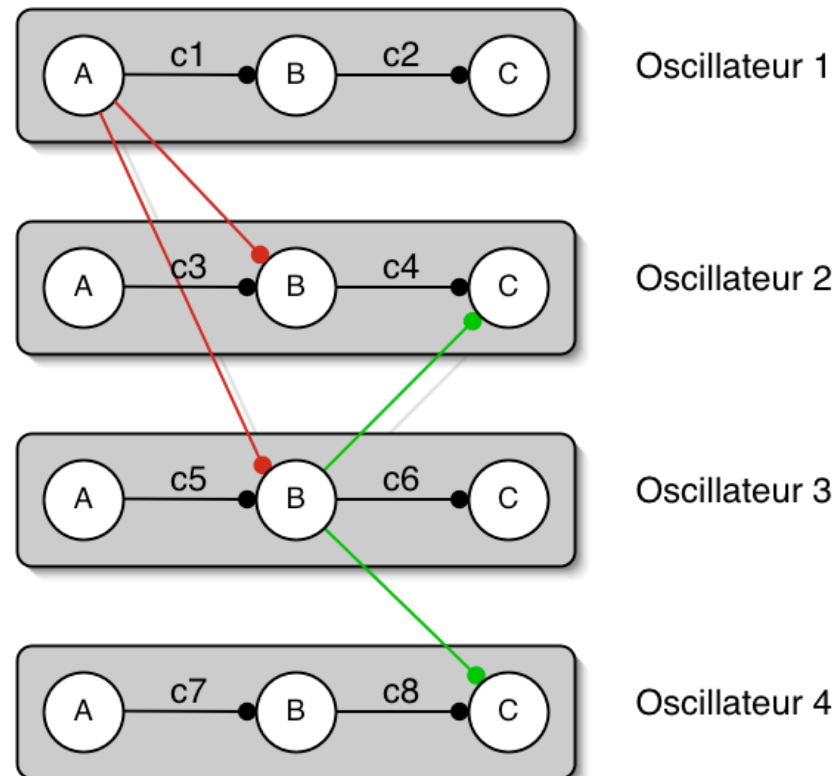
Oscillateurs : résultats



- Evolution uniquement du contrôleur
- 3 formes choisies

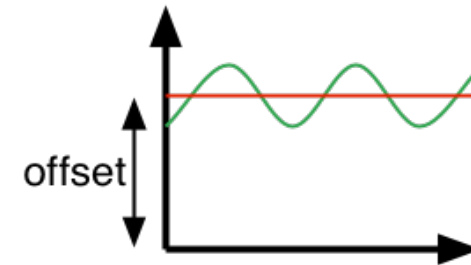
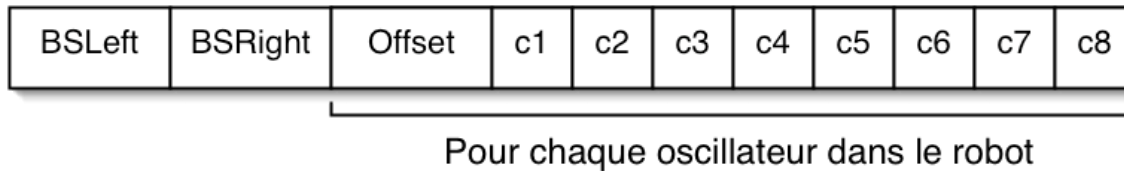


- Méthode : couplage des oscillateurs par **synaptic spreading**

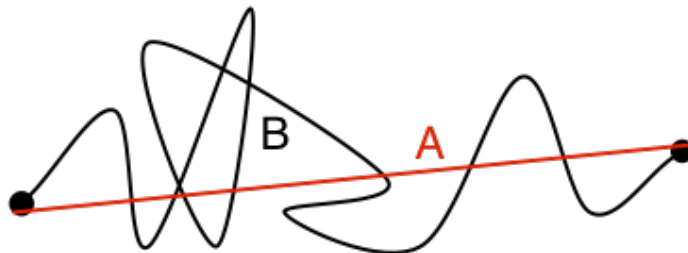


- Genetic algorithm :
 - Le même que pour l'oscillateur

- Encodage :



- Fonction de fitness :

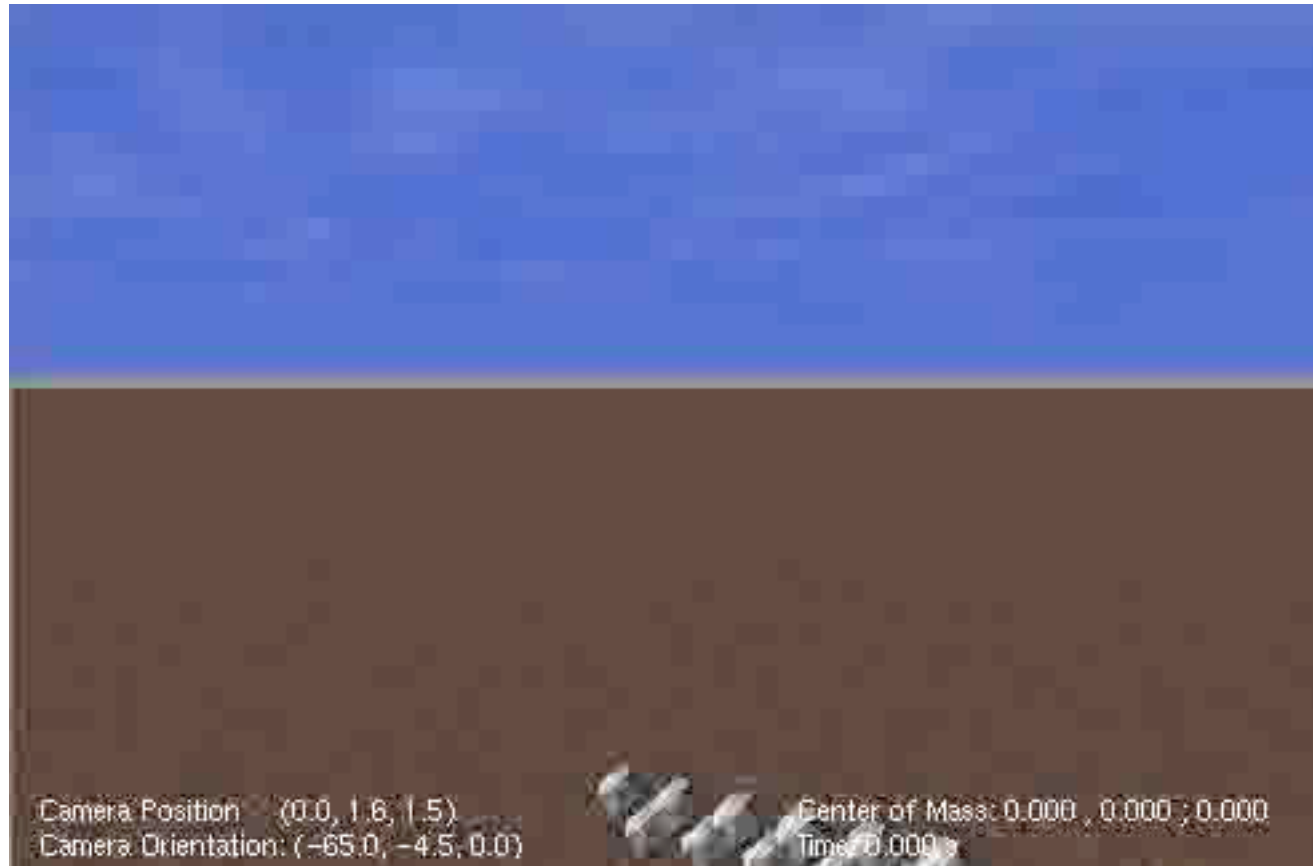


$$F = A + \beta \cdot B$$

- 3-4 runs pour *fleche* et *tetrapode*,
12 pour le *serpent*
- Tetrapode : résultats décevants
en terme de vitesse (dûs à la
forme ?)
- Le serpent n'a pas retrouvé la
locomotion trouvée manuellement
mais une efficace, plié en deux

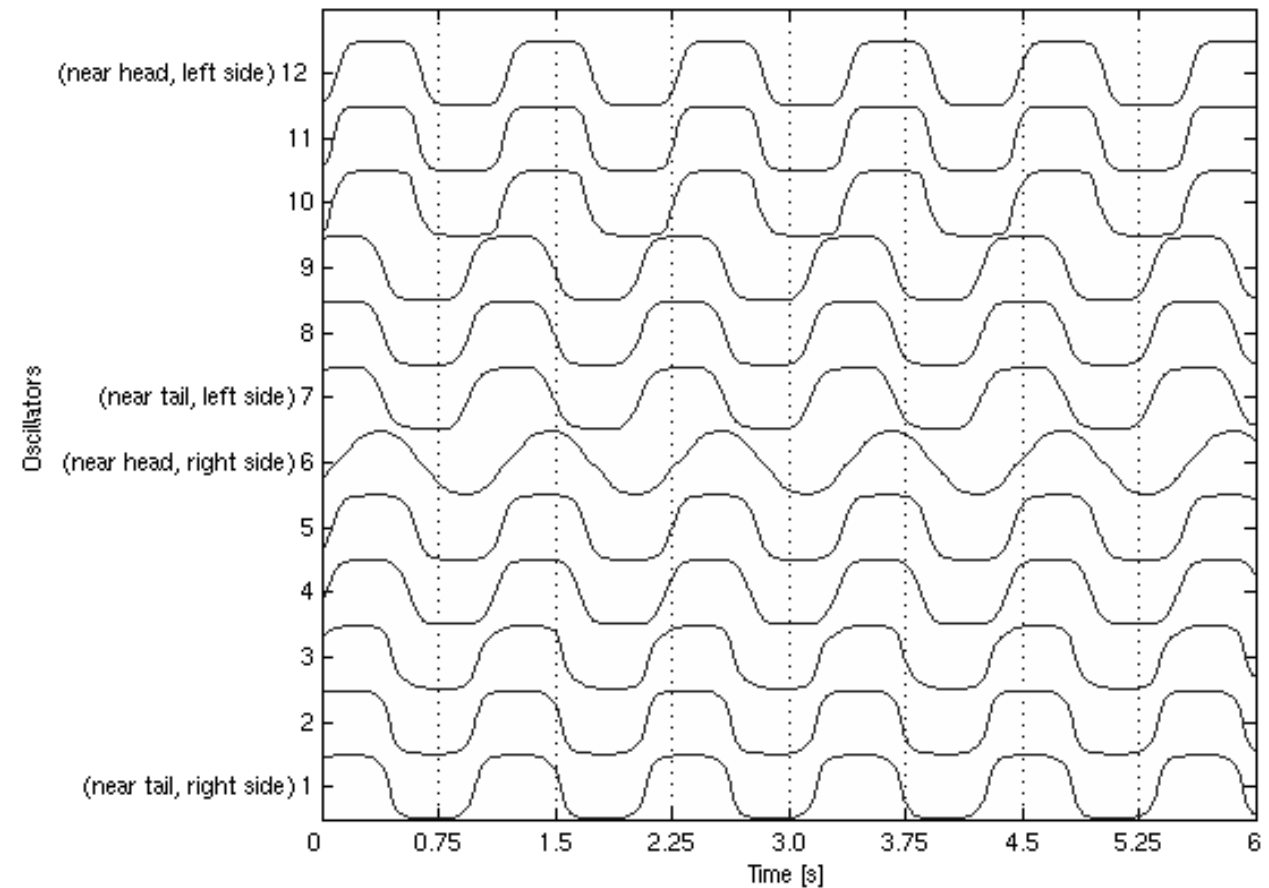
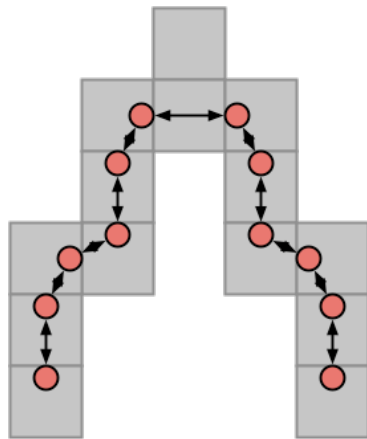


Serpent





■ *La fleche* (~9 m/min)

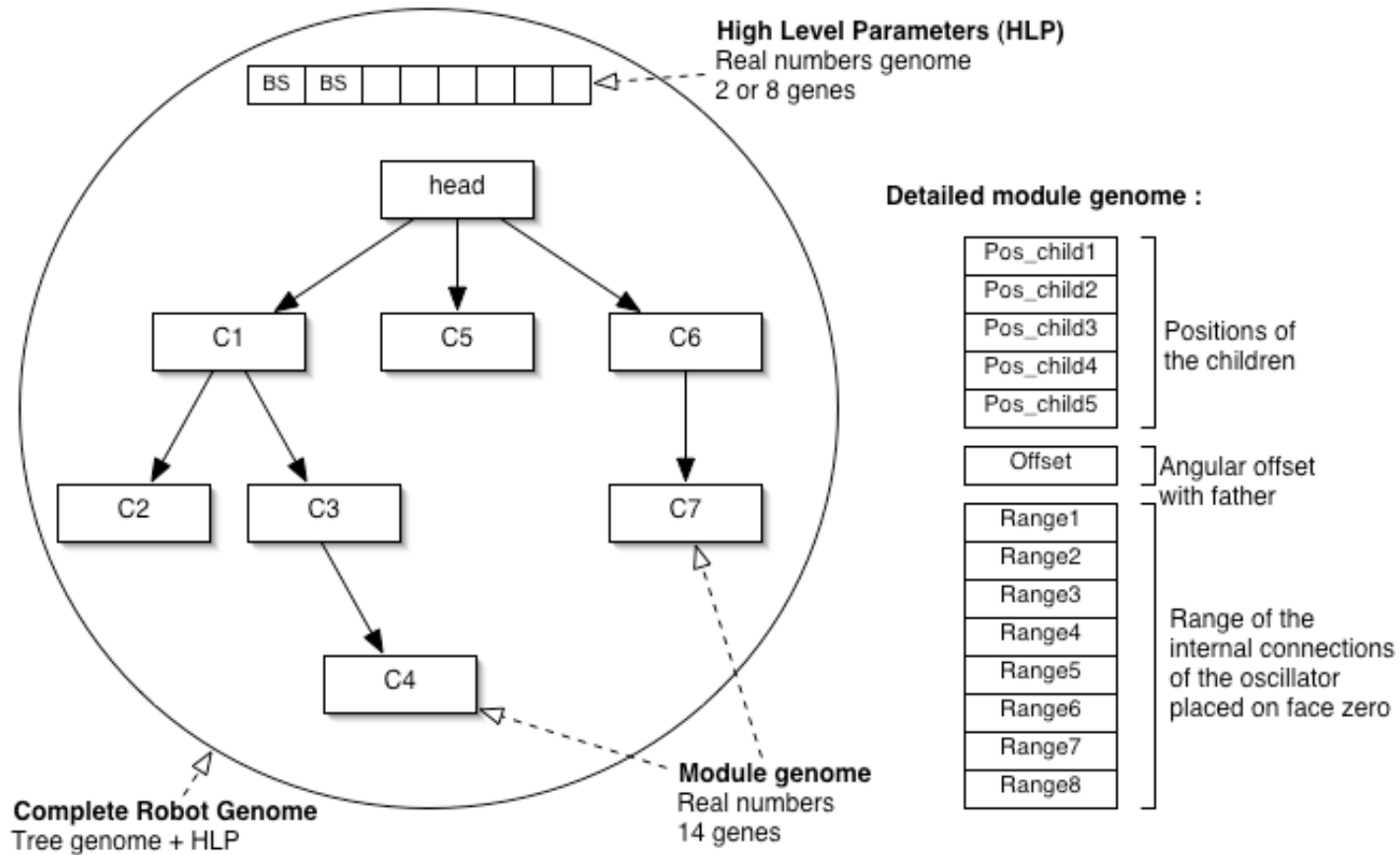


- Les CPG basés sur des réseaux de neurones oscillatoires couplés par synaptic spreading sont efficaces dans notre cas
- Nous n'avons utilisés que des mouvements ne tirant pas parti des joints particuliers du module neubot
- Les formes ne sont pas forcément les mieux adaptées

➔ co-évolution

- Co-évolution de la structure et du contrôleur
 - Eviter de péjorer des résultats avec des formes inappropriées (cf axes de rotation des modules neubot)
 - Bio-inspiré
 - Bien adapté à la robotique modulaire
- Autres recherches
 - Daniel Marbach
 - M-TRAN, recherches de Hornby et Pollack
 - Sims block creatures, framestick

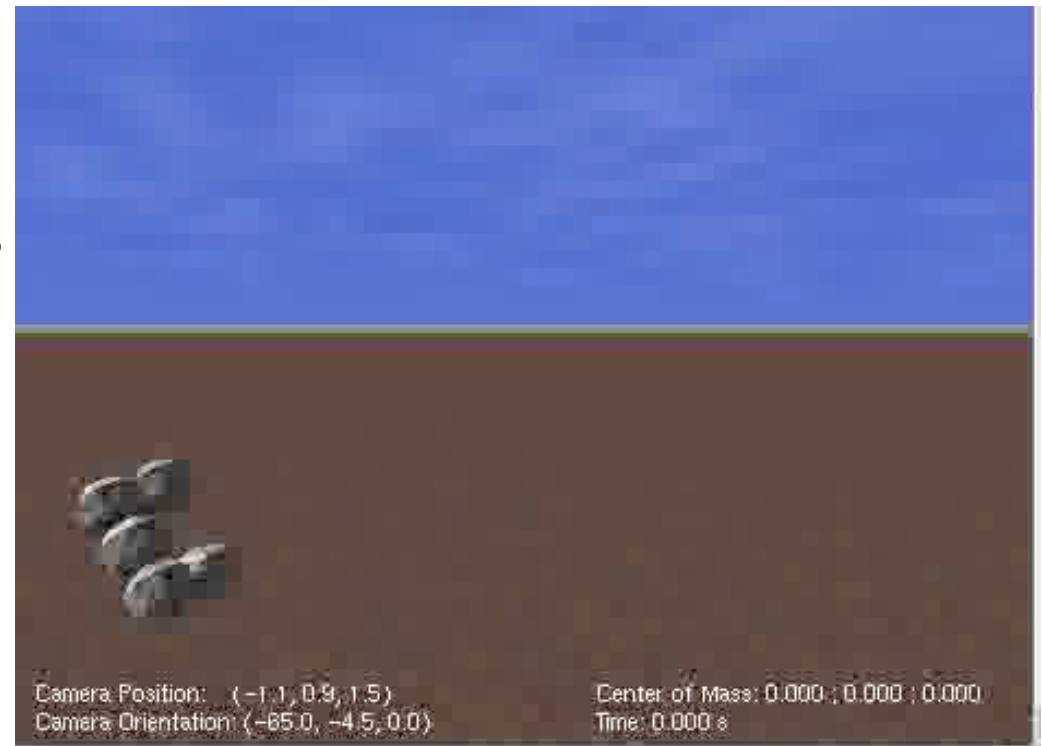
Co-Ev : Encoding



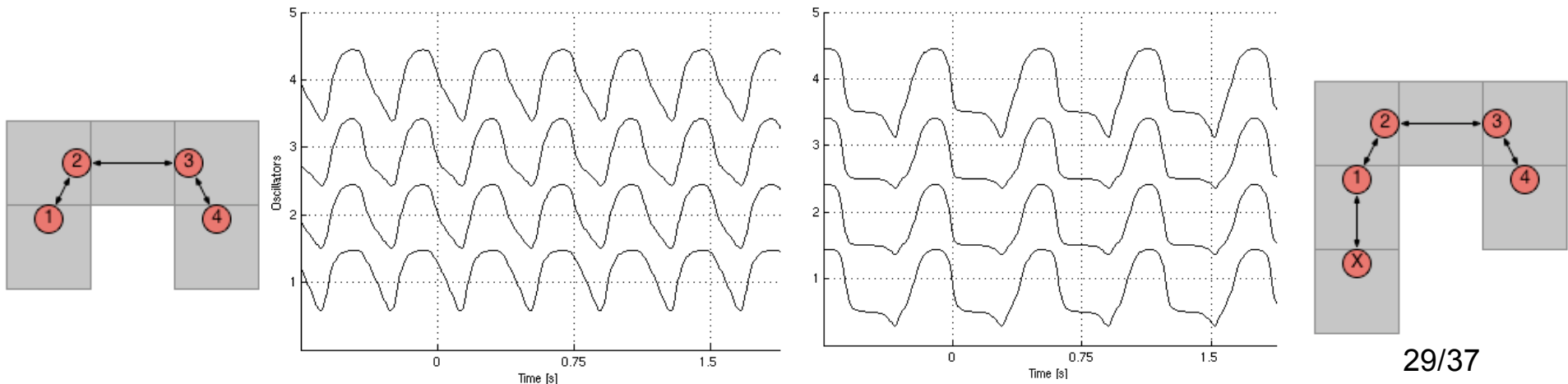
Detailed High Level Genome :

BSleft	BSRight	P_Mut	STD_Dev	P_Dest	PSwapTree	PSwapNode	P_Cross
--------	---------	-------	---------	--------	-----------	-----------	---------

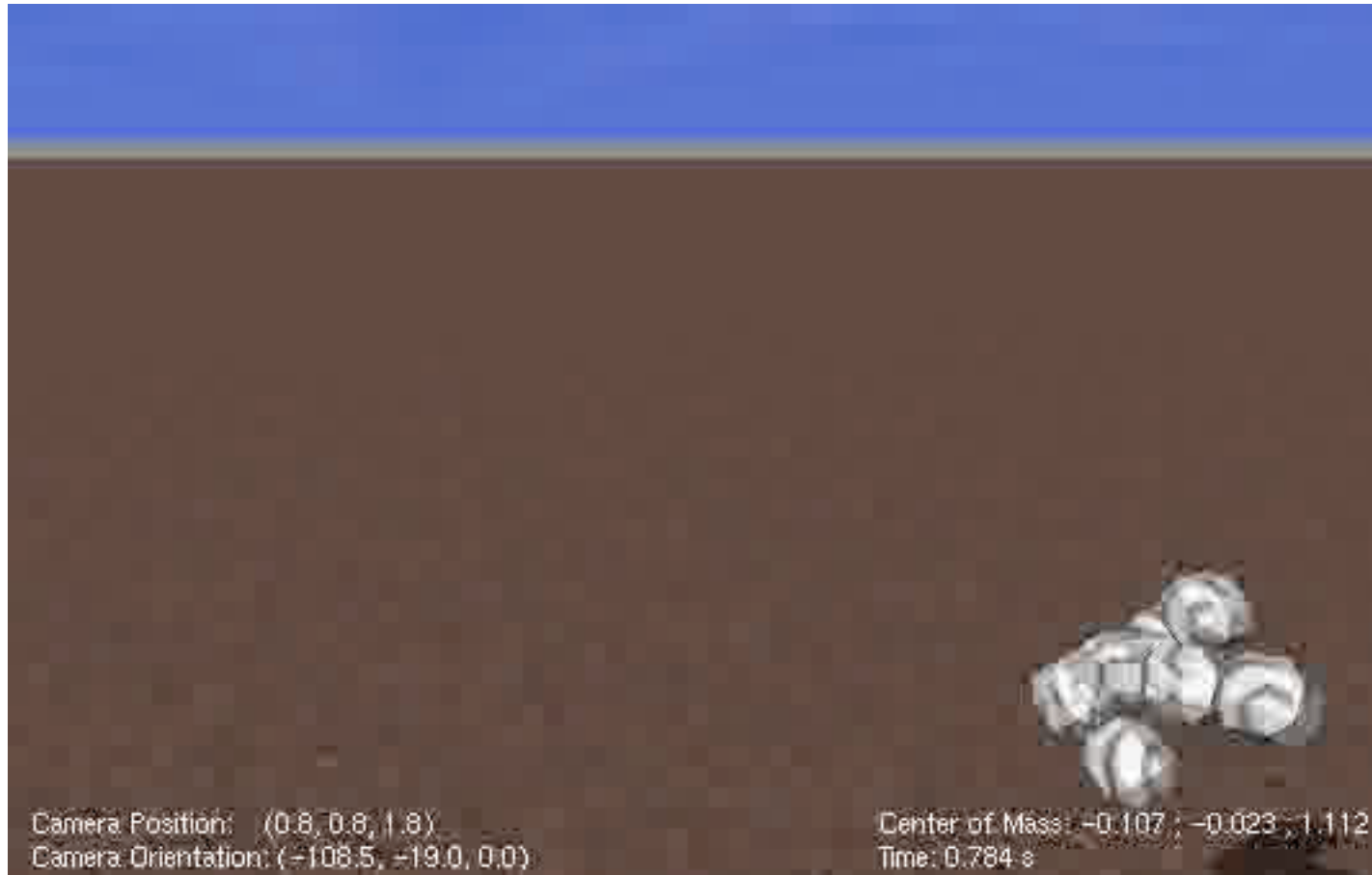
- Nombre initial de modules variable
- Fonction de Fitness générique
- Problèmes
 - Trajectoires en spirales
 - "Petits" robots



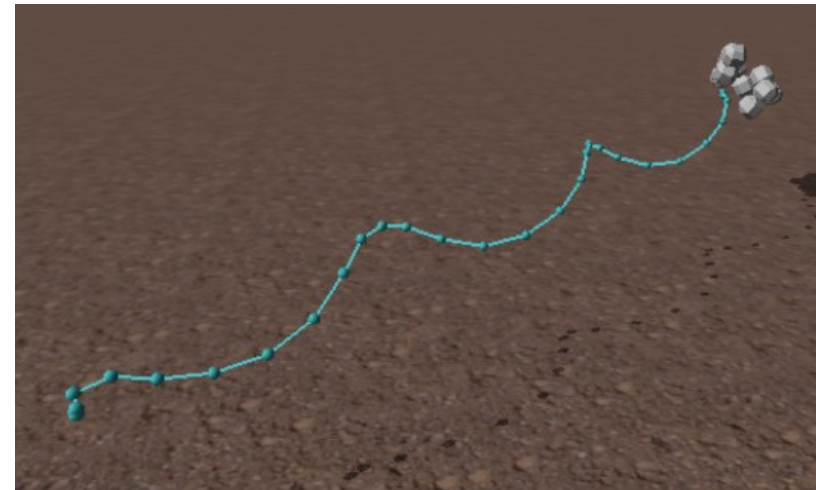
- Changements séries 2 à 4
 - Nombre initial de module plus élevé
 - Les modules peuvent être activés ou non : auparavant, seuls certains couplages pouvaient faire cela
 - Oscillateur d'un nouveau module n'est plus connecté aléatoirement aux autres





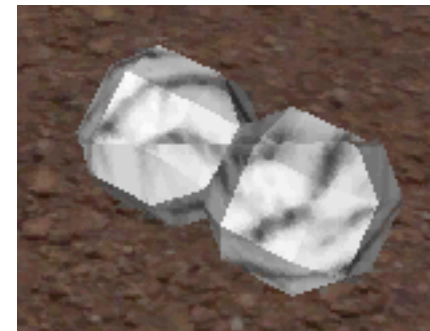
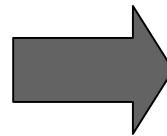
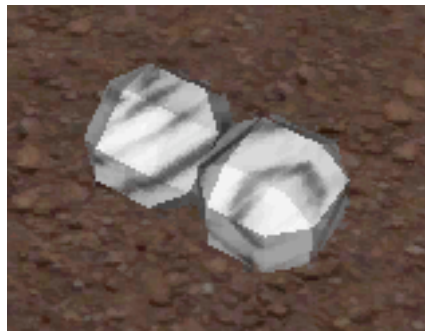


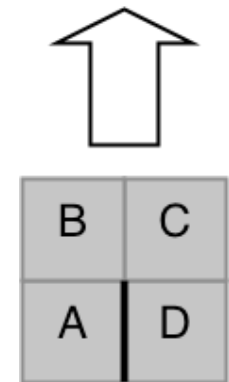
- Symétrie : souvent (toujours?) le cas dans la nature. Ici, pas obligatoire
 - Certains deviennent symétriques (difficulté à grandir...)
 - Les autres ont des trajectoires en spirale
- Construction de l'arbre en profondeur
- Les robots sont bloqués dans optima locaux



=> autres méthodes d'optimisation (PSO50, autre GA)

- Jusqu'ici utilisation d'oscillations
- Les moteurs des modules Neubot peuvent être utilisés pour tourner de manière continue (comme une hélice)



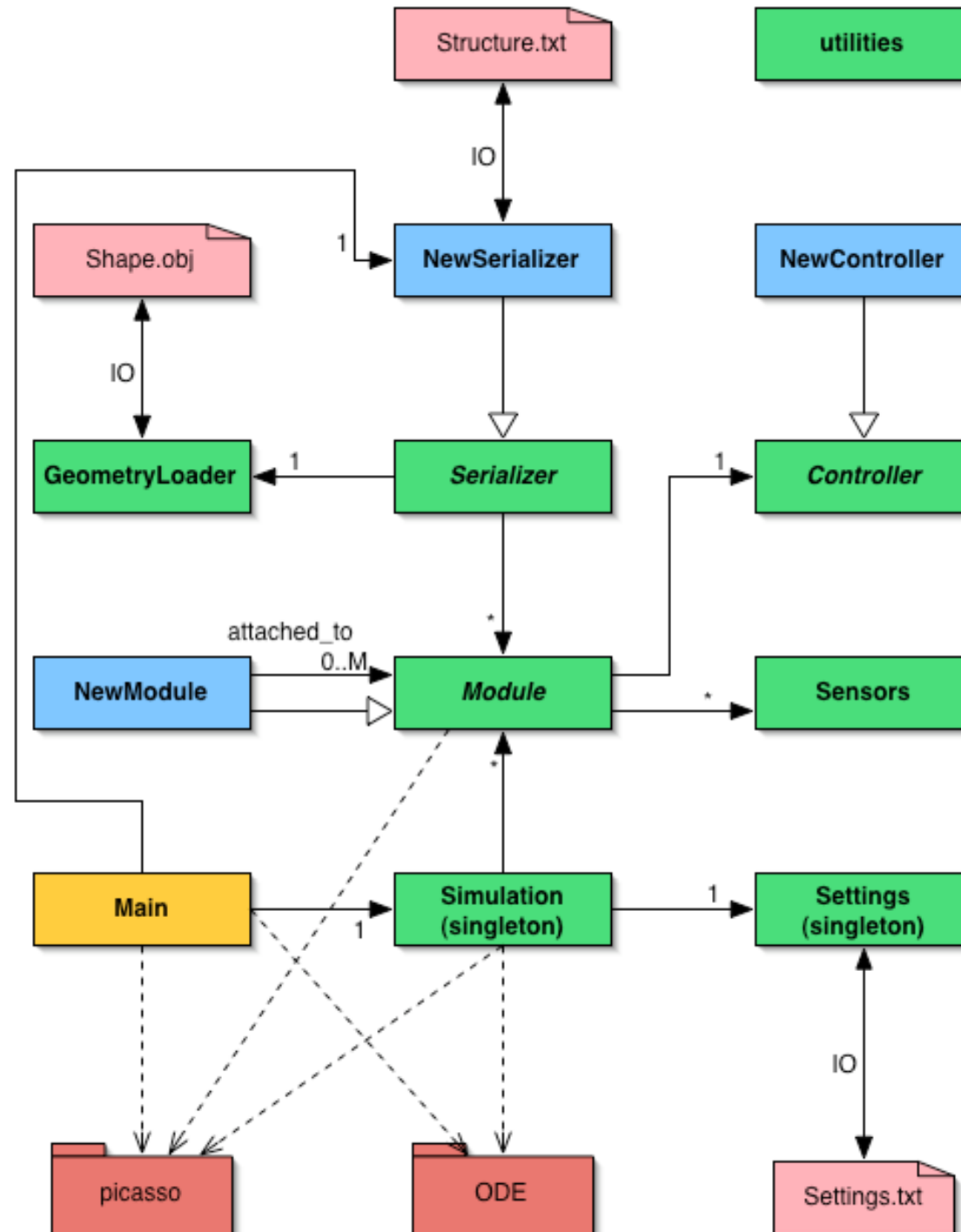


- Framework & simulateur
 - Fonctionne bien mais le transfert vers la réalité risque d'être problématique (simplifications très fortes)
- Locomotion
 - Les robots co-évolués sont plus efficaces que ceux avec une formes fixées
 - L'absence de symétrie est compensée par des trajectoires en spirale
 - Oscillations > rotation continue
- Projet Neubot
 - L'axe de rotation parallèle à la normale est peu utilisé

- Affiner le simulateur en fonction de résultats expérimentaux
- Fonction de fitness qui favorise des robots capables de contrôler leur direction et leur vitesse
- Tester des solutions mixtes : oscillations - rotation continue
- Tester d'autres GA et d'autres techniques d'optimisation

Questions

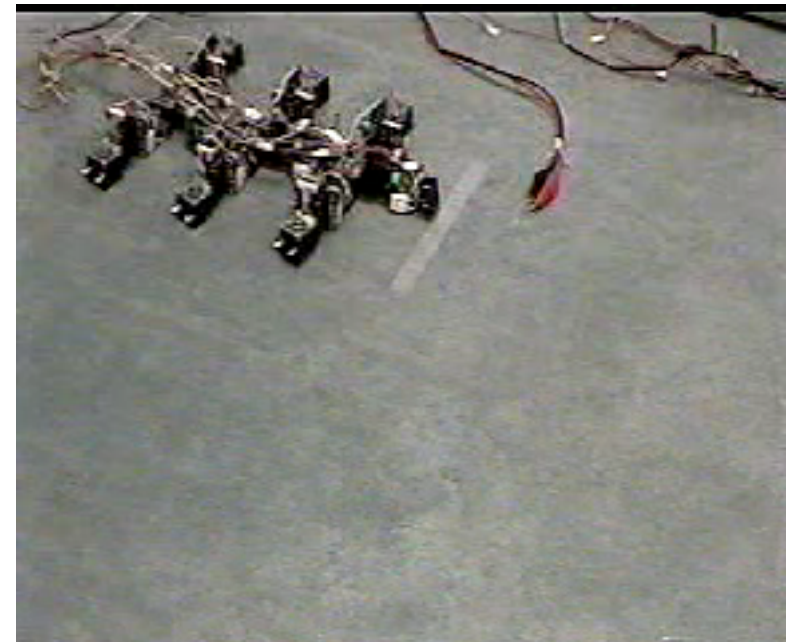
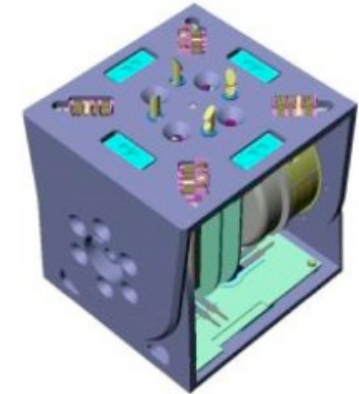




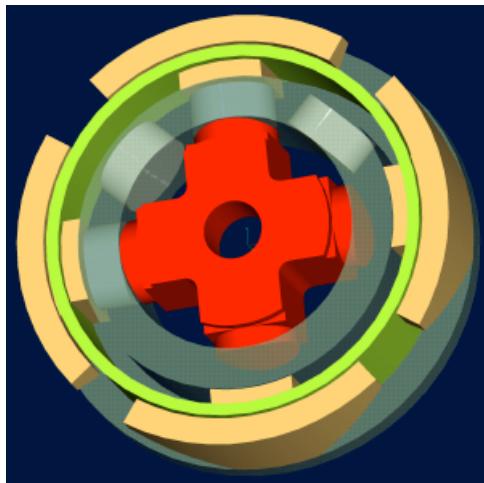
- Exemple 1 : M-TRAN II
 - Développé par AIST (Japon)
 - Auto-reconfiguration
 - Différentes façons de se mouvoir réalisées avec GA et CPG



- Exemple 2 : PolyBot
 - Développé par le XEROX PARC
 - 3ème génération :
 - Auto-reconfiguration
 - Seulement 2 faces de connection mais éléments passifs



- 6 faces pour s'attacher
- Joints magnétiques faits grâce à deux anneaux de dipôles dont la polarité peut être adaptée -> face attractive, **neutre** ou repulsive



- Changements effectués par la suite
 - Système de connection
 - Sérialisation suivant le type de contrôleur (avec oscillateurs non-linéaires, réseaux de neurones, etc...)
 - Sérialisation séquentielle : position et quaternion uniquement du premier module, puis les suivants sont placés sur l'une des faces des précédents
 - Modèle physique de l'eau

$$F_R = L \cdot C_T \cdot v^2$$

*where L is the frontal area of the object in the fluid,
 C_T the dimensionless rotation friction constant and
 v is the velocity of the module*

$$F_T = -\frac{1}{2} \rho_{\text{water}} \cdot L \cdot C_D \cdot v^2$$

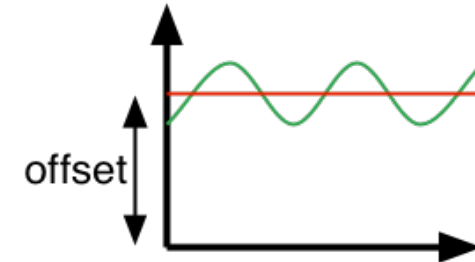
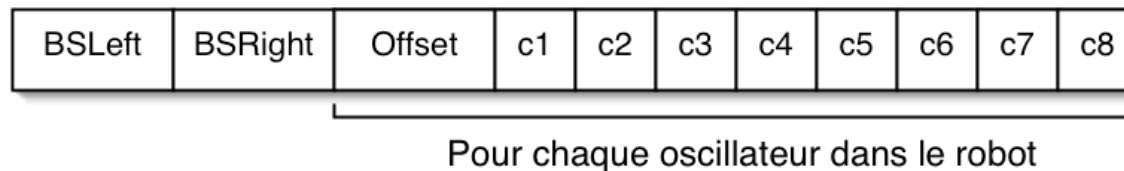
*where L is the frontal area of the object in the fluid,
 ρ_{water} water is the fluid density, C_D the drag coefficient
and v is the velocity of the module*

$$F_B = \rho_{\text{water}} \cdot g \cdot V$$

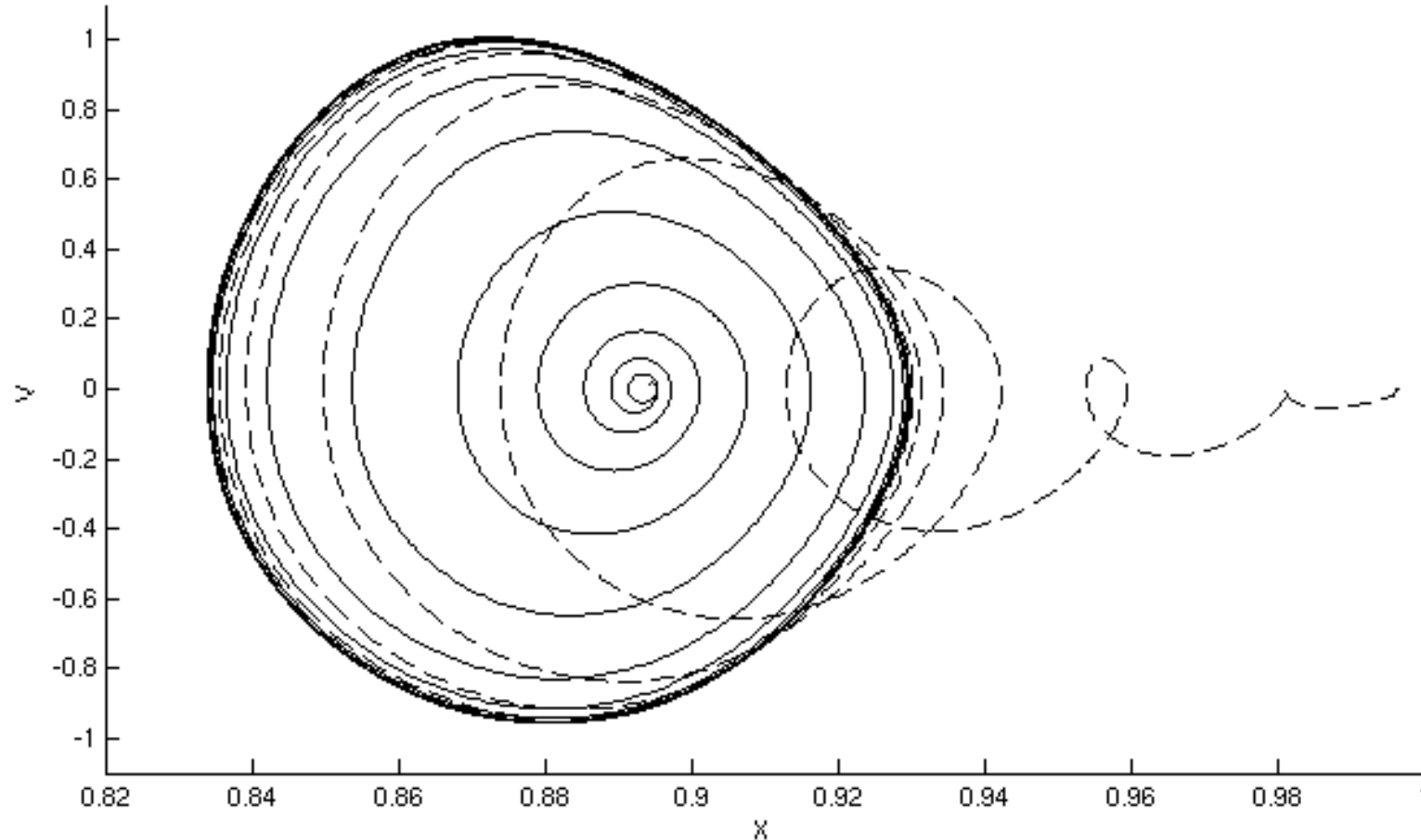
*where water represents the density of the fluid,
 g is gravitation acceleration and V the volume
of the module*

- **Réseaux de neurones VS oscillateurs non linéaires**
 - Cohérence avec les autres parties du contrôleurs
 - Oscillations plus variées
 - Plus proche de la nature
- Choix d'un réseau simple dont les connexions interneurales ainsi que les paramètres des neurones sont évolués (GA) dans le but d'avoir un réseau générant des oscillations

- Genetic algorithm :
 - Le même que pour l'oscillateur
 - Encoding :

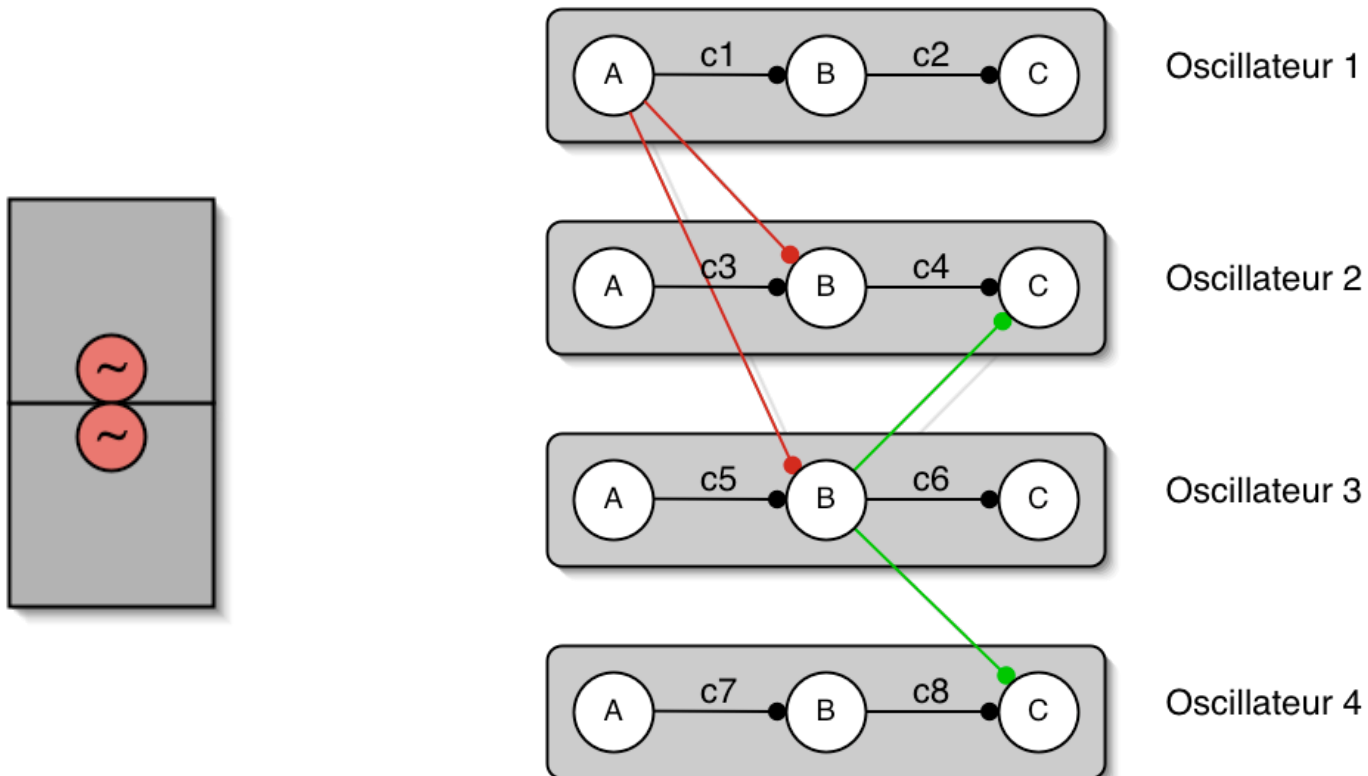


- Différentes fonction de fitness testées :
 - Générique : $f = \alpha \cdot \|\vec{p}_N - \vec{p}_1\| + \beta \cdot \sum_{i=1}^{N-1} \|\vec{p}_{i+1} - \vec{p}_i\|$
 - Ou privilégiant un direction ou le plan XY

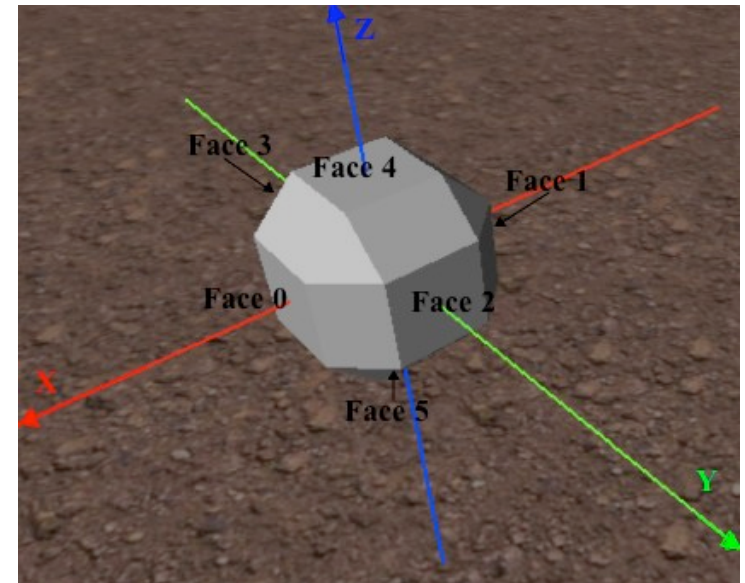


Cycle limite : affichage de MI selon la position
et la vitesse

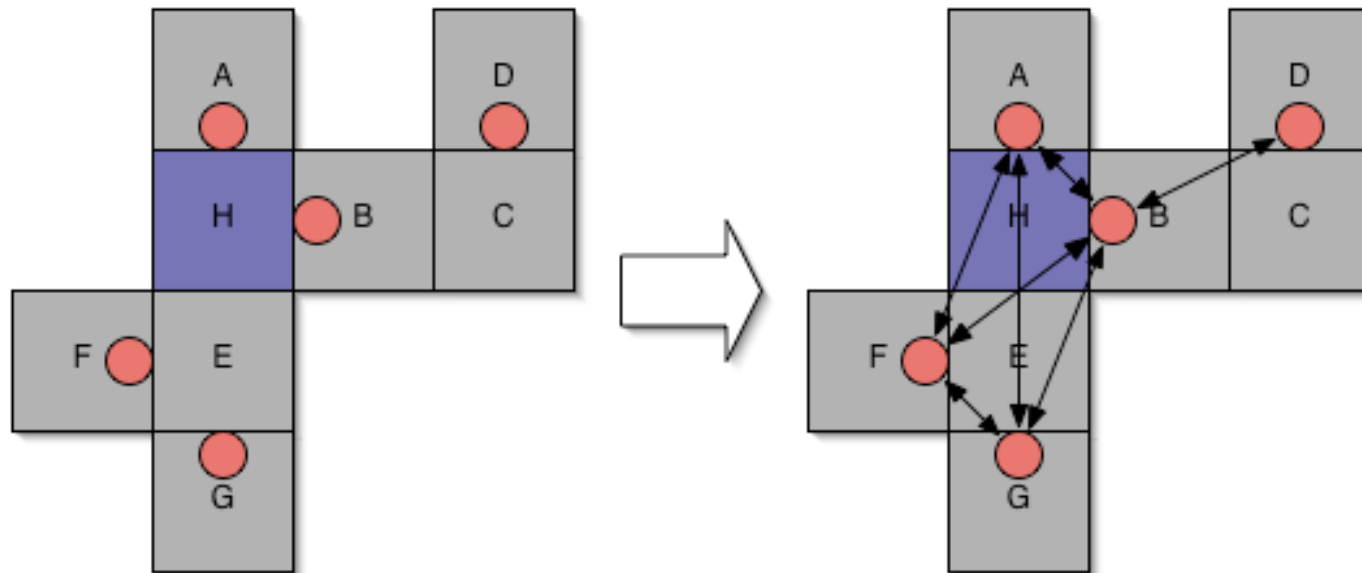
- Méthode : couplage des oscillateurs par **synaptic spreading**



- Structure en arbre (plus de cycles)
- Toujours attaché au père par la face 0.
Uniquement 1 moteur est activé dans chaque module -> un seul oscillateur
- Même oscillateur qu'avant
- Synaptic spreading
- Elimination des robots "impossibles"



Co-Ev : Encoding



- GA : steady-state, pop : 100, rank-proportional roulette wheel selection, même ff qu'avant
- Mutations
 - Au niveau de l'arbre
 - Destruction d'un nœud ou d'un sous-arbre
 - Ajout d'un nœud
 - Echange de 2 nœuds ou sous-arbres
 - Au niveau des nœuds et des paramètres généraux:
 - Ajout d'une petite valeur tirée d'une gaussienne
 - Pour les positions des enfants : échange de deux places
- Crossover
 - Au niveau de l'arbre
 - Echange de sous-arbre de deux robots

- Nombreuses évolutions lancées mais principalement 4 séries
- Généralités
 - Diversité des robots trouvés
 - Optima locaux fortement attractifs
 - Le nombre initial de modules a une très forte influence, difficulté à augmenter ou réduire le nombre de modules

- Changements
 - FF favorise le plan horizontal
 - Nombre initial de modules plus élevé
- Résultats relativement semblables
- Mêmes problèmes
- Film...

- Changements
 - L'oscillateur d'un nouveau module n'est pas connecté initialement aux autres oscillateurs
 - But : ne plus perturber le comportement général à cause de l'adjonction d'un module
- Résultats relativement semblables
- Mêmes problèmes
- Film...

- Solutions ?
 - Forcer la symétrie
 - Tester la construction des arbres en largeur
 - Tester des méthodes d'optimisation différentes (PSO50?) ou des GA différents (populations multiples avec transfert)